Eingabe: Farbmetrisches Reflexions-System NCS11

für Buntton *h* = lab*h = 24/360 = 0.066*
*lab*tch* und *lab*nch*

D65: Buntton R
LCH*Ma: 47 92 24
rgb*Ma: 1.0 0.0 0.0

Dreiecks-Helligkeit *t**

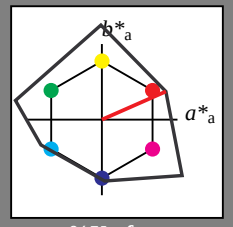

%Umfang

u*rel = 149

NCS11; adaptierte CIELAB-Daten

	L*=L*a	a*a	b*a	C*ab,a	h*ab,a
RMa	47.15	84.64	37.25	92.48	24
JMa	91.37	−1.27	125.03	125.03	91
GMa	63.07	−114.28	25.35	117.06	167
G50BMa	59.47	−80.6	−33.45	87.28	203
BMa	49.01	3.65	−81.19	81.28	273
B50RMa	44.06	106.09	−73.93	129.32	325
NMa	10.99	0.0	0.0	0.0	0
WMa	95.41	0.0	0.0	0.0	0
RCIE	39.92	58.69	27.98	65.01	25
JCIE	81.26	−2.9	71.56	71.62	92
GCIE	52.23	−42.45	13.59	44.59	162
BCIE	30.57	1.35	−46.48	46.51	272

1,00

%Regularität

g*H,rel = 46

g*C,rel = 65

0,75

0,25

0,00

n* = 0,00

n* = 0,25

n* = 0,50

n* = 1,0

Schwarzheit *n**

0,25 0,50 0,75 1,00

relative Buntheit *c**

Ausgabe: Farbmetrisches Reflexions-System NCS11

für Buntton *h* = lab*h = 24/360 = 0.066*
*lab*tch* und *lab*nch*

D65: Buntton R
LCH*Ma: 47 92 24
rgb*Ma: 1.0 0.0 0.0

Dreiecks-Helligkeit *t**

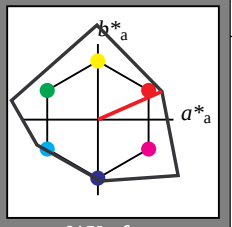

%Umfang

u*rel = 149

NCS11; adaptierte CIELAB-Daten

	L*=L*a	a*a	b*a	C*ab,a	h*ab,a
RMa	47.15	84.64	37.25	92.48	24
JMa	91.37	−1.27	125.03	125.03	91
GMa	63.07	−114.28	25.35	117.06	167
G50BMa	59.47	−80.6	−33.45	87.28	203
BMa	49.01	3.65	−81.19	81.28	273
B50RMa	44.06	106.09	−73.93	129.32	325
NMa	10.99	0.0	0.0	0.0	0
WMa	95.41	0.0	0.0	0.0	0
RCIE	39.92	58.69	27.98	65.01	25
JCIE	81.26	−2.9	71.56	71.62	92
GCIE	52.23	−42.45	13.59	44.59	162
BCIE	30.57	1.35	−46.48	46.51	272

%Regularität

g*H,rel = 46

g*C,rel = 65

n* = 0,00

n* = 0,25

n* = 0,50

n* = 1,0

Schwarzheit *n**

0,25 0,50 0,75 1,00

relative Buntheit *c**

UG590−7, 5 stufige Reihen für konstanten CIELAB Buntton 24/360 = 0.066 (links)

5 stufige Reihen für konstanten CIELAB Buntton 24/360 = 0.066 (rechts)

BAM-Prüfvorlage UG59; Farbmetrik-Systeme ORS18 & ORS18 D65: 2 Koordinaten-Daten von 5stufigen Farbreihen für 10 Buntt**one**

input: *cmy0* setcmykcolor*
output: *Startup (S) data dependend*

Eingabe: Farbmetrisches Reflexions-System NCS11

für Buntton $h^* = lab^*h = 91/360 = 0.252$
*lab*tch* und *lab*nch*

D65: Buntton J
LCH*Ma: 91 125 91
rgb*Ma: 1.0 1.0 0.0

Dreiecks-Helligkeit *t**

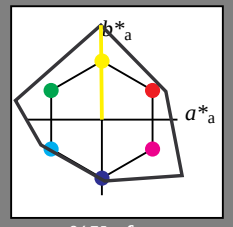

%Umfang

u^*_{rel} = 149

NCS11; adaptierte CIELAB-Daten	$L^*=L^*_a$	a^*_a	b^*_a	$C^*_{ab,a}$	$h^*_{ab,a}$
R_{Ma}	47.15	84.64	37.25	92.48	24
J_{Ma}	91.37	−1.27	125.03	125.03	91
G_{Ma}	63.07	−114.28	25.35	117.06	167
$G50B_{Ma}$	59.47	−80.6	−33.45	87.28	203
B_{Ma}	49.01	3.65	−81.19	81.28	273
$B50R_{Ma}$	44.06	106.09	−73.93	129.32	325
N_{Ma}	10.99	0.0	0.0	0.0	0
W_{Ma}	95.41	0.0	0.0	0.0	0
R_{CIE}	39.92	58.69	27.98	65.01	25
J_{CIE}	81.26	−2.9	71.56	71.62	92
G_{CIE}	52.23	−42.45	13.59	44.59	162
B_{CIE}	30.57	1.35	−46.48	46.51	272

1,00

%Regularität

$g^*_{H,rel}$ = 46

$g^*_{C,rel}$ = 65

0,75

0,25

0,00

n^* = 0,00

n^* = 0,25

n^* = 0,50

n^* = 1,0

Schwarzheit *n**

0,25 0,50 0,75 1,00

relative Buntheit *c**

Ausgabe: Farbmetrisches Reflexions-System NCS11

für Buntton $h^* = lab^*h = 91/360 = 0.252$
*lab*tch* und *lab*nch*

D65: Buntton J
LCH*Ma: 91 125 91
rgb*Ma: 1.0 1.0 0.0

Dreiecks-Helligkeit *t**

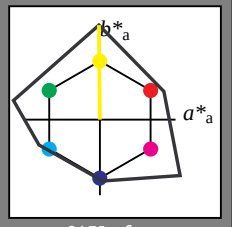

%Umfang

u^*_{rel} = 149

NCS11; adaptierte CIELAB-Daten	$L^*=L^*_a$	a^*_a	b^*_a	$C^*_{ab,a}$	$h^*_{ab,a}$
R_{Ma}	47.15	84.64	37.25	92.48	24
J_{Ma}	91.37	−1.27	125.03	125.03	91
G_{Ma}	63.07	−114.28	25.35	117.06	167
$G50B_{Ma}$	59.47	−80.6	−33.45	87.28	203
B_{Ma}	49.01	3.65	−81.19	81.28	273
$B50R_{Ma}$	44.06	106.09	−73.93	129.32	325
N_{Ma}	10.99	0.0	0.0	0.0	0
W_{Ma}	95.41	0.0	0.0	0.0	0
R_{CIE}	39.92	58.69	27.98	65.01	25
J_{CIE}	81.26	−2.9	71.56	71.62	92
G_{CIE}	52.23	−42.45	13.59	44.59	162
B_{CIE}	30.57	1.35	−46.48	46.51	272

%Regularität

$g^*_{H,rel}$ = 46

$g^*_{C,rel}$ = 65

n^* = 0,00

n^* = 0,25

n^* = 0,50

n^* = 1,0

Schwarzheit *n**

0,25 0,50 0,75 1,00

relative Buntheit *c**

UG590−7, 5 stufige Reihen für konstanten CIELAB Buntton 91/360 = 0.252 (links)

5 stufige Reihen für konstanten CIELAB Buntton 91/360 = 0.252 (rechts)

Eingabe: Farbmetrisches Reflexions-System NCS11
für Buntton *h* = lab*h = 167/360 = 0.465*
*lab*tch* und *lab*nch*

D65: Buntton G
LCH*Ma: 63 117 167
rgb*Ma: 0.0 1.0 0.0

Dreiecks-Helligkeit *t**

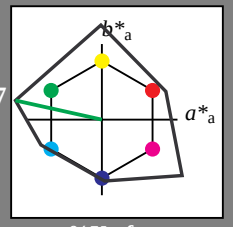

%Umfang
u*rel = 149

%Regularität
g*H,rel = 46
g*C,rel = 65

NCS11; adaptierte CIELAB-Daten

	L*=L*a	a*a	b*a	C*ab,a	h*ab,a
RMa	47.15	84.64	37.25	92.48	24
JMa	91.37	−1.27	125.03	125.03	91
GMa	63.07	−114.28	25.35	117.06	167
G50BMa	59.47	−80.6	−33.45	87.28	203
BMa	49.01	3.65	−81.19	81.28	273
B50RMa	44.06	106.09	−73.93	129.32	325
NMa	10.99	0.0	0.0	0.0	0
WMa	95.41	0.0	0.0	0.0	0
RCIE	39.92	58.69	27.98	65.01	25
JCIE	81.26	−2.9	71.56	71.62	92
GCIE	52.23	−42.45	13.59	44.59	162
BCIE	30.57	1.35	−46.48	46.51	272

1,00
0,75
0,50
0,25
0,00
n* = 0,00
n* = 0,25
n* = 0,50
n* = 1,0
Schwarzheit *n**
0,25
0,50
0,75
1,00
relative Buntheit *c**

Ausgabe: Farbmetrisches Reflexions-System NCS11
für Buntton *h* = lab*h = 167/360 = 0.465*
*lab*tch* und *lab*nch*

D65: Buntton G
LCH*Ma: 63 117 167
rgb*Ma: 0.0 1.0 0.0

Dreiecks-Helligkeit *t**

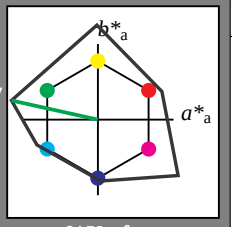

%Umfang
u*rel = 149

%Regularität
g*H,rel = 46
g*C,rel = 65

NCS11; adaptierte CIELAB-Daten

	L*=L*a	a*a	b*a	C*ab,a	h*ab,a
RMa	47.15	84.64	37.25	92.48	24
JMa	91.37	−1.27	125.03	125.03	91
GMa	63.07	−114.28	25.35	117.06	167
G50BMa	59.47	−80.6	−33.45	87.28	203
BMa	49.01	3.65	−81.19	81.28	273
B50RMa	44.06	106.09	−73.93	129.32	325
NMa	10.99	0.0	0.0	0.0	0
WMa	95.41	0.0	0.0	0.0	0
RCIE	39.92	58.69	27.98	65.01	25
JCIE	81.26	−2.9	71.56	71.62	92
GCIE	52.23	−42.45	13.59	44.59	162
BCIE	30.57	1.35	−46.48	46.51	272

1,00
0,75
0,50
0,25
0,00
n* = 0,00
n* = 0,25
n* = 0,50
n* = 1,0
Schwarzheit *n**
0,25
0,50
0,75
1,00
relative Buntheit *c**

UG590−7, 5 stufige Reihen für konstanten CIELAB Buntton 167/360 = 0.465 (links)
5 stufige Reihen für konstanten CIELAB Buntton 167/360 = 0.465 (rechts)

Eingabe: Farbmetrisches Reflexions-System NCS11

für Buntton *h* = lab*h = 203/360 = 0.563*
*lab*tch* und *lab*nch*

D65: Buntton G50B
LCH*Ma: 59 87 203
rgb*Ma: 0.0 1.0 1.0

Dreiecks-Helligkeit *t**

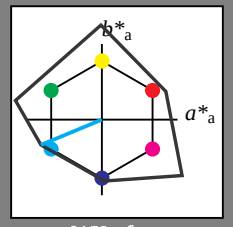

%Umfang

u*$_{rel}$ = 149

%Regularität

g*$_{H,rel}$ = 46

g*$_{C,rel}$ = 65

NCS11; adaptierte CIELAB-Daten

	$L^*=L^*_a$	a^*_a	b^*_a	$C^*_{ab,a}$	$h^*_{ab,a}$
R_{Ma}	47.15	84.64	37.25	92.48	24
J_{Ma}	91.37	−1.27	125.03	125.03	91
G_{Ma}	63.07	−114.28	25.35	117.06	167
$G50B_{Ma}$	59.47	−80.6	−33.45	87.28	203
B_{Ma}	49.01	3.65	−81.19	81.28	273
$B50R_{Ma}$	44.06	106.09	−73.93	129.32	325
N_{Ma}	10.99	0.0	0.0	0.0	0
W_{Ma}	95.41	0.0	0.0	0.0	0
R_{CIE}	39.92	58.69	27.98	65.01	25
J_{CIE}	81.26	−2.9	71.56	71.62	92
G_{CIE}	52.23	−42.45	13.59	44.59	162
B_{CIE}	30.57	1.35	−46.48	46.51	272

1,00
0,75
0,50
0,25
0,00

Schwarzheit *n**

*n** = 0,00
*n** = 0,25
*n** = 0,50
*n** = 1,0

0,25 0,50 0,75 1,00

relative Buntheit *c**

Ausgabe: Farbmetrisches Reflexions-System NCS11

für Buntton *h* = lab*h = 203/360 = 0.563*
*lab*tch* und *lab*nch*

D65: Buntton G50B
LCH*Ma: 59 87 203
rgb*Ma: 0.0 1.0 1.0

Dreiecks-Helligkeit *t**

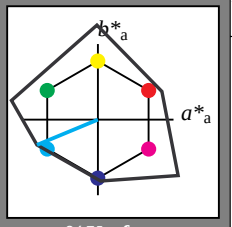

%Umfang

u*$_{rel}$ = 149

%Regularität

g*$_{H,rel}$ = 46

g*$_{C,rel}$ = 65

NCS11; adaptierte CIELAB-Daten

	$L^*=L^*_a$	a^*_a	b^*_a	$C^*_{ab,a}$	$h^*_{ab,a}$
R_{Ma}	47.15	84.64	37.25	92.48	24
J_{Ma}	91.37	−1.27	125.03	125.03	91
G_{Ma}	63.07	−114.28	25.35	117.06	167
$G50B_{Ma}$	59.47	−80.6	−33.45	87.28	203
B_{Ma}	49.01	3.65	−81.19	81.28	273
$B50R_{Ma}$	44.06	106.09	−73.93	129.32	325
N_{Ma}	10.99	0.0	0.0	0.0	0
W_{Ma}	95.41	0.0	0.0	0.0	0
R_{CIE}	39.92	58.69	27.98	65.01	25
J_{CIE}	81.26	−2.9	71.56	71.62	92
G_{CIE}	52.23	−42.45	13.59	44.59	162
B_{CIE}	30.57	1.35	−46.48	46.51	272

1,00
0,75
0,50
0,25
0,00

Schwarzheit *n**

*n** = 0,00
*n** = 0,25
*n** = 0,50
*n** = 1,0

0,25 0,50 0,75 1,00

relative Buntheit *c**

UG590−7, 5 stufige Reihen für konstanten CIELAB Buntton 203/360 = 0.563 (links)

5 stufige Reihen für konstanten CIELAB Buntton 203/360 = 0.563 (rechts)

BAM-Prüfvorlage UG59; Farbmetrik-Systeme ORS18 & ORS18
D65: 2 Koordinaten-Daten von 5stufigen Farbreihen für 10 Buntt**öne**

input: *cmy0* setcmykcolor*
output: *Startup (S) data dependend*

Eingabe: Farbmetrisches Reflexions-System NCS11
für Buntton *h* = lab*h = 273/360 = 0.757*
lab*tch* und *lab*nch

D65: Buntton B
LCH*Ma: 49 81 273
rgb*Ma: 0.0 0.0 1.0

Dreiecks-Helligkeit *t**

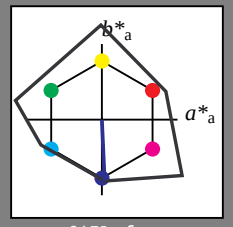

%Umfang
u*$_{rel}$ = 149

NCS11; adaptierte CIELAB-Daten

	$L^*=L^*_a$	a^*_a	b^*_a	$C^*_{ab,a}$	$h^*_{ab,a}$
R_{Ma}	47.15	84.64	37.25	92.48	24
J_{Ma}	91.37	−1.27	125.03	125.03	91
G_{Ma}	63.07	−114.28	25.35	117.06	167
$G50B_{Ma}$	59.47	−80.6	−33.45	87.28	203
B_{Ma}	49.01	3.65	−81.19	81.28	273
$B50R_{Ma}$	44.06	106.09	−73.93	129.32	325
N_{Ma}	10.99	0.0	0.0	0.0	0
W_{Ma}	95.41	0.0	0.0	0.0	0
R_{CIE}	39.92	58.69	27.98	65.01	25
J_{CIE}	81.26	−2.9	71.56	71.62	92
G_{CIE}	52.23	−42.45	13.59	44.59	162
B_{CIE}	30.57	1.35	−46.48	46.51	272

1,00

%Regularität
g*$_{H,rel}$ = 46
g*$_{C,rel}$ = 65

0,75

0,25

0,00

n = 0,00*
n = 0,25*
n = 0,50*
n = 1,0*

Schwarzheit *n**

0,25 0,50 0,75 1,00

relative Buntheit *c**

Ausgabe: Farbmetrisches Reflexions-System NCS11
für Buntton *h* = lab*h = 273/360 = 0.757*
lab*tch* und *lab*nch

D65: Buntton B
LCH*Ma: 49 81 273
rgb*Ma: 0.0 0.0 1.0

Dreiecks-Helligkeit *t**

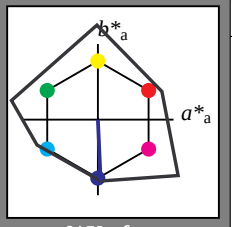

%Umfang
u*$_{rel}$ = 149

NCS11; adaptierte CIELAB-Daten

	$L^*=L^*_a$	a^*_a	b^*_a	$C^*_{ab,a}$	$h^*_{ab,a}$
R_{Ma}	47.15	84.64	37.25	92.48	24
J_{Ma}	91.37	−1.27	125.03	125.03	91
G_{Ma}	63.07	−114.28	25.35	117.06	167
$G50B_{Ma}$	59.47	−80.6	−33.45	87.28	203
B_{Ma}	49.01	3.65	−81.19	81.28	273
$B50R_{Ma}$	44.06	106.09	−73.93	129.32	325
N_{Ma}	10.99	0.0	0.0	0.0	0
W_{Ma}	95.41	0.0	0.0	0.0	0
R_{CIE}	39.92	58.69	27.98	65.01	25
J_{CIE}	81.26	−2.9	71.56	71.62	92
G_{CIE}	52.23	−42.45	13.59	44.59	162
B_{CIE}	30.57	1.35	−46.48	46.51	272

%Regularität
g*$_{H,rel}$ = 46
g*$_{C,rel}$ = 65

n = 0,00*
n = 0,25*
n = 0,50*
n = 1,0*

Schwarzheit *n**

0,25 0,50 0,75 1,00

relative Buntheit *c**

UG590−7, 5 stufige Reihen für konstanten CIELAB Buntton 273/360 = 0.757 (links)

5 stufige Reihen für konstanten CIELAB Buntton 273/360 = 0.757 (rechts)

Eingabe: Farbmetrisches Reflexions-System NCS11

für Buntton *h* = lab*h = 325/360 = 0.903*
*lab*tch* und *lab*nch*

D65: Buntton B50R
LCH*Ma: 44 129 325
rgb*Ma: 1.0 0.0 1.0

Dreiecks-Helligkeit *t**

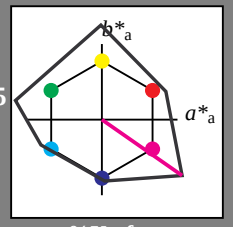

%Umfang

u*$_{rel}$ = 149

NCS11; adaptierte CIELAB-Daten

	$L^*=L^*_a$	a^*_a	b^*_a	$C^*_{ab,a}$	$h^*_{ab,a}$
R_{Ma}	47.15	84.64	37.25	92.48	24
J_{Ma}	91.37	−1.27	125.03	125.03	91
G_{Ma}	63.07	−114.28	25.35	117.06	167
$G50B_{Ma}$	59.47	−80.6	−33.45	87.28	203
B_{Ma}	49.01	3.65	−81.19	81.28	273
$B50R_{Ma}$	44.06	106.09	−73.93	129.32	325
N_{Ma}	10.99	0.0	0.0	0.0	0
W_{Ma}	95.41	0.0	0.0	0.0	0
R_{CIE}	39.92	58.69	27.98	65.01	25
J_{CIE}	81.26	−2.9	71.56	71.62	92
G_{CIE}	52.23	−42.45	13.59	44.59	162
B_{CIE}	30.57	1.35	−46.48	46.51	272

1,00

%Regularität

g*$_{H,rel}$ = 46

g*$_{C,rel}$ = 65

0,75

0,25

0,00

n* = 0,00

n* = 0,25

n* = 0,50

n* = 1,0

Schwarzheit *n**

0,25 0,50 0,75 1,00

relative Buntheit *c**

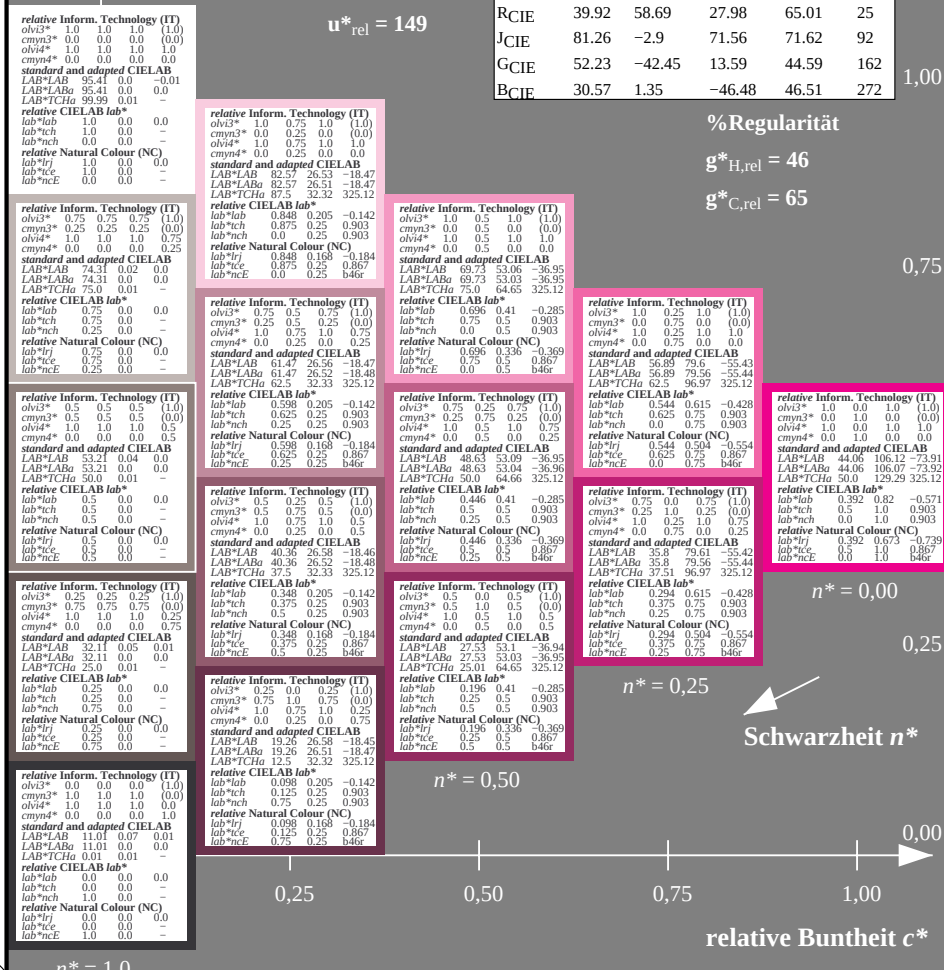

Ausgabe: Farbmetrisches Reflexions-System NCS11

für Buntton *h* = lab*h = 325/360 = 0.903*
*lab*tch* und *lab*nch*

D65: Buntton B50R
LCH*Ma: 44 129 325
rgb*Ma: 1.0 0.0 1.0

Dreiecks-Helligkeit *t**

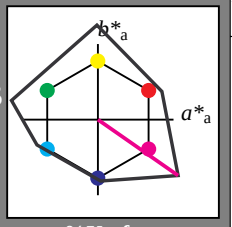

%Umfang

u*$_{rel}$ = 149

NCS11; adaptierte CIELAB-Daten

	$L^*=L^*_a$	a^*_a	b^*_a	$C^*_{ab,a}$	$h^*_{ab,a}$
R_{Ma}	47.15	84.64	37.25	92.48	24
J_{Ma}	91.37	−1.27	125.03	125.03	91
G_{Ma}	63.07	−114.28	25.35	117.06	167
$G50B_{Ma}$	59.47	−80.6	−33.45	87.28	203
B_{Ma}	49.01	3.65	−81.19	81.28	273
$B50R_{Ma}$	44.06	106.09	−73.93	129.32	325
N_{Ma}	10.99	0.0	0.0	0.0	0
W_{Ma}	95.41	0.0	0.0	0.0	0
R_{CIE}	39.92	58.69	27.98	65.01	25
J_{CIE}	81.26	−2.9	71.56	71.62	92
G_{CIE}	52.23	−42.45	13.59	44.59	162
B_{CIE}	30.57	1.35	−46.48	46.51	272

%Regularität

g*$_{H,rel}$ = 46

g*$_{C,rel}$ = 65

n* = 0,00

n* = 0,25

n* = 0,50

n* = 1,0

Schwarzheit *n**

0,25 0,50 0,75 1,00

relative Buntheit *c**

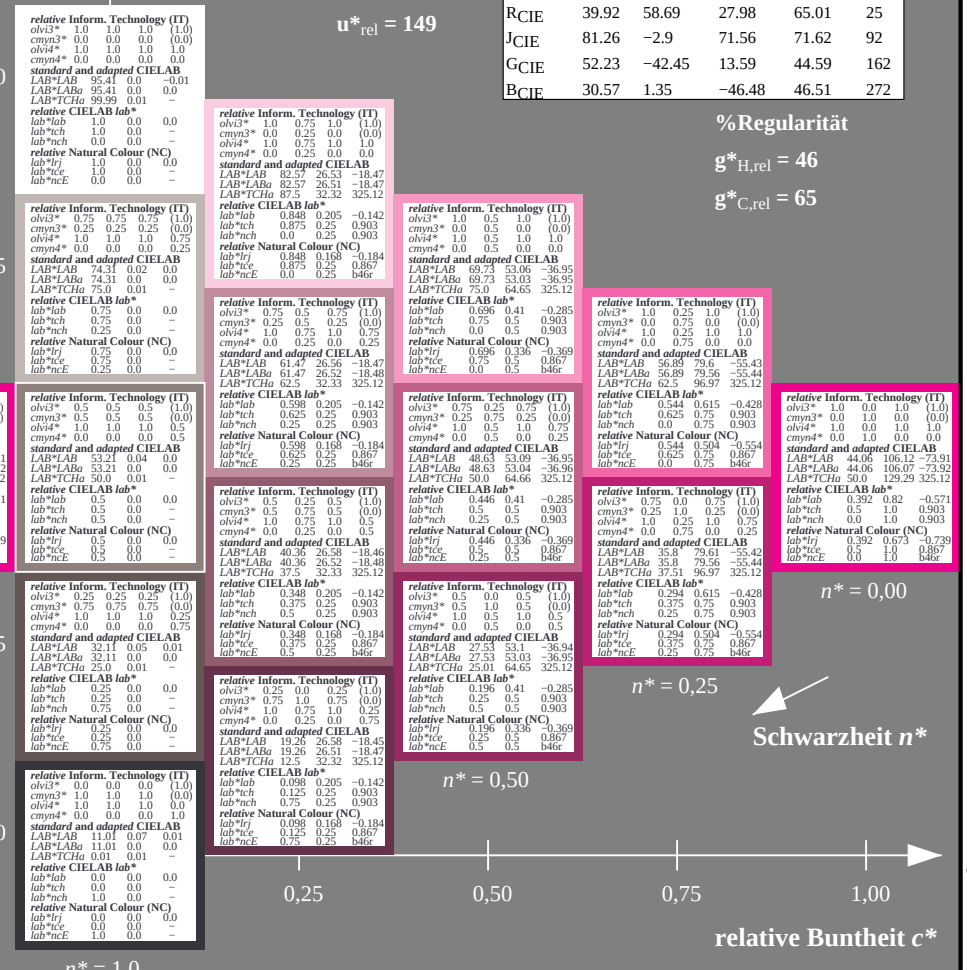

UG590−7, 5 stufige Reihen für konstanten CIELAB Buntton 325/360 = 0.903 (links)

5 stufige Reihen für konstanten CIELAB Buntton 325/360 = 0.903 (rechts)

Eingabe: Farbmetrisches Reflexions-System NCS11
für Buntton *h* = lab*h = 25/360 = 0.071*
lab*tch* und *lab*nch

D65: Buntton R
LCH*Ma: 48 91 25
rgb*Ma: 1.0 0.02 0.0

Dreiecks-Helligkeit *t**

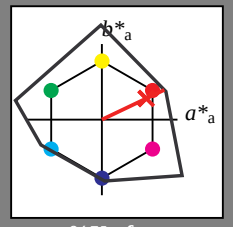

%Umfang

u*$_{rel}$ = 149

NCS11; adaptierte CIELAB-Daten

	$L^*=L^*_a$	a^*_a	b^*_a	$C^*_{ab,a}$	$h^*_{ab,a}$
R_{Ma}	47.15	84.64	37.25	92.48	24
J_{Ma}	91.37	−1.27	125.03	125.03	91
G_{Ma}	63.07	−114.28	25.35	117.06	167
$G50B_{Ma}$	59.47	−80.6	−33.45	87.28	203
B_{Ma}	49.01	3.65	−81.19	81.28	273
$B50R_{Ma}$	44.06	106.09	−73.93	129.32	325
N_{Ma}	10.99	0.0	0.0	0.0	0
W_{Ma}	95.41	0.0	0.0	0.0	0
R_{CIE}	39.92	58.69	27.98	65.01	25
J_{CIE}	81.26	−2.9	71.56	71.62	92
G_{CIE}	52.23	−42.45	13.59	44.59	162
B_{CIE}	30.57	1.35	−46.48	46.51	272

%Regularität

g*$_{H,rel}$ = 46

g*$_{C,rel}$ = 65

1,00
0,75
0,25
0,00
0,25 0,50 0,75 1,00
relative Buntheit *c**
Schwarzheit *n**
n = 0,00*
n = 0,25*
n = 0,50*
n = 1,0*

Ausgabe: Farbmetrisches Reflexions-System NCS11
für Buntton *h* = lab*h = 25/360 = 0.071*
lab*tch* und *lab*nch

D65: Buntton R
LCH*Ma: 48 91 25
rgb*Ma: 1.0 0.02 0.0

Dreiecks-Helligkeit *t**

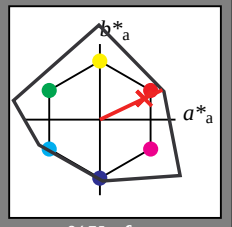

%Umfang

u*$_{rel}$ = 149

NCS11; adaptierte CIELAB-Daten

	$L^*=L^*_a$	a^*_a	b^*_a	$C^*_{ab,a}$	$h^*_{ab,a}$
R_{Ma}	47.15	84.64	37.25	92.48	24
J_{Ma}	91.37	−1.27	125.03	125.03	91
G_{Ma}	63.07	−114.28	25.35	117.06	167
$G50B_{Ma}$	59.47	−80.6	−33.45	87.28	203
B_{Ma}	49.01	3.65	−81.19	81.28	273
$B50R_{Ma}$	44.06	106.09	−73.93	129.32	325
N_{Ma}	10.99	0.0	0.0	0.0	0
W_{Ma}	95.41	0.0	0.0	0.0	0
R_{CIE}	39.92	58.69	27.98	65.01	25
J_{CIE}	81.26	−2.9	71.56	71.62	92
G_{CIE}	52.23	−42.45	13.59	44.59	162
B_{CIE}	30.57	1.35	−46.48	46.51	272

%Regularität

g*$_{H,rel}$ = 46

g*$_{C,rel}$ = 65

1,00
0,75
0,25
0,00
0,25 0,50 0,75 1,00
relative Buntheit *c**
Schwarzheit *n**
n = 0,00*
n = 0,25*
n = 0,50*
n = 1,0*

UG590−7, 5 stufige Reihen für konstanten CIELAB Buntton 25/360 = 0.071 (links)

5 stufige Reihen für konstanten CIELAB Buntton 25/360 = 0.071 (rechts)

Eingabe: Farbmetrisches Reflexions-System NCS11
für Buntton *h* = lab*h = 92/360 = 0.256*
*lab*tch* und *lab*nch*

D65: Buntton J
LCH*Ma: 90 122 92
rgb*Ma: 0.97 1.0 0.0

Dreiecks-Helligkeit *t**

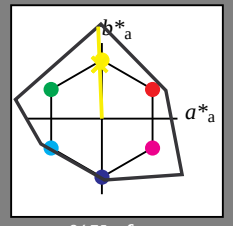

%Umfang
u*rel = 149

NCS11; adaptierte CIELAB-Daten

	L*=L*a	a*a	b*a	C*ab,a	h*ab,a
RMa	47.15	84.64	37.25	92.48	24
JMa	91.37	−1.27	125.03	125.03	91
GMa	63.07	−114.28	25.35	117.06	167
G50BMa	59.47	−80.6	−33.45	87.28	203
BMa	49.01	3.65	−81.19	81.28	273
B50RMa	44.06	106.09	−73.93	129.32	325
NMa	10.99	0.0	0.0	0.0	0
WMa	95.41	0.0	0.0	0.0	0
RCIE	39.92	58.69	27.98	65.01	25
JCIE	81.26	−2.9	71.56	71.62	92
GCIE	52.23	−42.45	13.59	44.59	162
BCIE	30.57	1.35	−46.48	46.51	272

%Regularität
g*H,rel = 46
g*C,rel = 65

1,00
0,75
0,25
0,00

n* = 0,00
n* = 0,25
n* = 0,50
n* = 1,0

Schwarzheit *n**

0,25 0,50 0,75 1,00

relative Buntheit *c**

Ausgabe: Farbmetrisches Reflexions-System NCS11
für Buntton *h* = lab*h = 92/360 = 0.256*
*lab*tch* und *lab*nch*

D65: Buntton J
LCH*Ma: 90 122 92
rgb*Ma: 0.97 1.0 0.0

Dreiecks-Helligkeit *t**

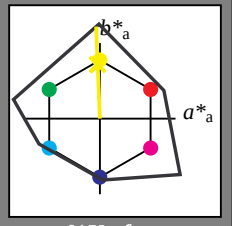

%Umfang
u*rel = 149

NCS11; adaptierte CIELAB-Daten

	L*=L*a	a*a	b*a	C*ab,a	h*ab,a
RMa	47.15	84.64	37.25	92.48	24
JMa	91.37	−1.27	125.03	125.03	91
GMa	63.07	−114.28	25.35	117.06	167
G50BMa	59.47	−80.6	−33.45	87.28	203
BMa	49.01	3.65	−81.19	81.28	273
B50RMa	44.06	106.09	−73.93	129.32	325
NMa	10.99	0.0	0.0	0.0	0
WMa	95.41	0.0	0.0	0.0	0
RCIE	39.92	58.69	27.98	65.01	25
JCIE	81.26	−2.9	71.56	71.62	92
GCIE	52.23	−42.45	13.59	44.59	162
BCIE	30.57	1.35	−46.48	46.51	272

%Regularität
g*H,rel = 46
g*C,rel = 65

n* = 0,00
n* = 0,25
n* = 0,50
n* = 1,0

Schwarzheit *n**

0,25 0,50 0,75 1,00

relative Buntheit *c**

UG590−7, 5 stufige Reihen für konstanten CIELAB Buntton 92/360 = 0.256 (links)

5 stufige Reihen für konstanten CIELAB Buntton 92/360 = 0.256 (rechts)

BAM-Prüfvorlage UG59; Farbmetrik-Systeme ORS18 & ORS18 input: *cmy0* setcmykcolor*
D65: 2 Koordinaten-Daten von 5stufigen Farbreihen für 10 Buntt**öne** output: *Startup (S) data dependend*

Eingabe: Farbmetrisches Reflexions-System NCS11

für Buntton *h* = lab*h = 162/360 = 0.451*
*lab*tch* und *lab*nch*

D65: Buntton G
LCH*Ma: 65 110 162
rgb*Ma: 0.08 1.0 0.0

Dreiecks-Helligkeit *t**

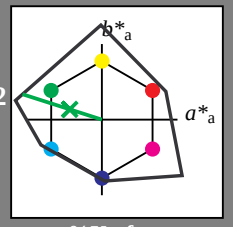

%Umfang

u*rel = 149

NCS11; adaptierte CIELAB-Daten

	L*=L*a	a*a	b*a	C*ab,a	h*ab,a
RMa	47.15	84.64	37.25	92.48	24
JMa	91.37	−1.27	125.03	125.03	91
GMa	63.07	−114.28	25.35	117.06	167
G50BMa	59.47	−80.6	−33.45	87.28	203
BMa	49.01	3.65	−81.19	81.28	273
B50RMa	44.06	106.09	−73.93	129.32	325
NMa	10.99	0.0	0.0	0.0	0
WMa	95.41	0.0	0.0	0.0	0
RCIE	39.92	58.69	27.98	65.01	25
JCIE	81.26	−2.9	71.56	71.62	92
GCIE	52.23	−42.45	13.59	44.59	162
BCIE	30.57	1.35	−46.48	46.51	272

%Regularität

g*H,rel = 46

g*C,rel = 65

1,00
0,75
0,25
0,00

n* = 0,00
n* = 0,25
n* = 0,50
n* = 1,0

Schwarzheit *n**

0,25 0,50 0,75 1,00

relative Buntheit *c**

Ausgabe: Farbmetrisches Reflexions-System NCS11

für Buntton *h* = lab*h = 162/360 = 0.451*
*lab*tch* und *lab*nch*

D65: Buntton G
LCH*Ma: 65 110 162
rgb*Ma: 0.08 1.0 0.0

Dreiecks-Helligkeit *t**

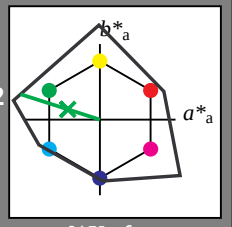

%Umfang

u*rel = 149

NCS11; adaptierte CIELAB-Daten

	L*=L*a	a*a	b*a	C*ab,a	h*ab,a
RMa	47.15	84.64	37.25	92.48	24
JMa	91.37	−1.27	125.03	125.03	91
GMa	63.07	−114.28	25.35	117.06	167
G50BMa	59.47	−80.6	−33.45	87.28	203
BMa	49.01	3.65	−81.19	81.28	273
B50RMa	44.06	106.09	−73.93	129.32	325
NMa	10.99	0.0	0.0	0.0	0
WMa	95.41	0.0	0.0	0.0	0
RCIE	39.92	58.69	27.98	65.01	25
JCIE	81.26	−2.9	71.56	71.62	92
GCIE	52.23	−42.45	13.59	44.59	162
BCIE	30.57	1.35	−46.48	46.51	272

%Regularität

g*H,rel = 46

g*C,rel = 65

n* = 0,00
n* = 0,25
n* = 0,50
n* = 1,0

Schwarzheit *n**

0,25 0,50 0,75 1,00

relative Buntheit *c**

UG590−7, 5 stufige Reihen für konstanten CIELAB Buntton 162/360 = 0.451 (links)

5 stufige Reihen für konstanten CIELAB Buntton 162/360 = 0.451 (rechts)

BAM-Prüfvorlage UG59; Farbmetrik-Systeme ORS18 & ORS18 D65: 2 Koordinaten-Daten von 5stufigen Farbreihen für 10 Buntton

input: *cmy0* setcmykcolor*
output: *Startup (S) data dependend*

Eingabe: Farbmetrisches Reflexions-System NCS11

für Buntton *h* = lab*h = 272/360 = 0.755*
*lab*tch* und *lab*nch*

D65: Buntton B
LCH*Ma: 49 80 272
rgb*Ma: 0.0 0.02 1.0

Dreiecks-Helligkeit *t**

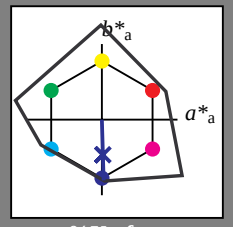

%Umfang

u*$_{rel}$ = 149

NCS11; adaptierte CIELAB-Daten

	*L**=*L**$_a$	*a**$_a$	*b**$_a$	*C**$_{ab,a}$	*h**$_{ab,a}$
R_{Ma}	47.15	84.64	37.25	92.48	24
J_{Ma}	91.37	−1.27	125.03	125.03	91
G_{Ma}	63.07	−114.28	25.35	117.06	167
$G50B_{Ma}$	59.47	−80.6	−33.45	87.28	203
B_{Ma}	49.01	3.65	−81.19	81.28	273
$B50R_{Ma}$	44.06	106.09	−73.93	129.32	325
N_{Ma}	10.99	0.0	0.0	0.0	0
W_{Ma}	95.41	0.0	0.0	0.0	0
R_{CIE}	39.92	58.69	27.98	65.01	25
J_{CIE}	81.26	−2.9	71.56	71.62	92
G_{CIE}	52.23	−42.45	13.59	44.59	162
B_{CIE}	30.57	1.35	−46.48	46.51	272

1,00

%Regularität

g*$_{H,rel}$ = 46

g*$_{C,rel}$ = 65

0,75

0,25

0,00

n* = 0,00

n* = 0,25

n* = 0,50

n* = 1,0

Schwarzheit *n**

0,25 0,50 0,75 1,00

relative Buntheit *c**

UG590−7, 5 stufige Reihen für konstanten CIELAB Buntton 272/360 = 0.755 (links)

Ausgabe: Farbmetrisches Reflexions-System NCS11

für Buntton *h* = lab*h = 272/360 = 0.755*
*lab*tch* und *lab*nch*

D65: Buntton B
LCH*Ma: 49 80 272
rgb*Ma: 0.0 0.02 1.0

Dreiecks-Helligkeit *t**

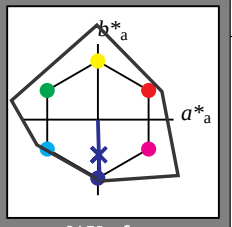

%Umfang

u*$_{rel}$ = 149

NCS11; adaptierte CIELAB-Daten

	*L**=*L**$_a$	*a**$_a$	*b**$_a$	*C**$_{ab,a}$	*h**$_{ab,a}$
R_{Ma}	47.15	84.64	37.25	92.48	24
J_{Ma}	91.37	−1.27	125.03	125.03	91
G_{Ma}	63.07	−114.28	25.35	117.06	167
$G50B_{Ma}$	59.47	−80.6	−33.45	87.28	203
B_{Ma}	49.01	3.65	−81.19	81.28	273
$B50R_{Ma}$	44.06	106.09	−73.93	129.32	325
N_{Ma}	10.99	0.0	0.0	0.0	0
W_{Ma}	95.41	0.0	0.0	0.0	0
R_{CIE}	39.92	58.69	27.98	65.01	25
J_{CIE}	81.26	−2.9	71.56	71.62	92
G_{CIE}	52.23	−42.45	13.59	44.59	162
B_{CIE}	30.57	1.35	−46.48	46.51	272

%Regularität

g*$_{H,rel}$ = 46

g*$_{C,rel}$ = 65

n* = 0,00

n* = 0,25

n* = 0,50

n* = 1,0

Schwarzheit *n**

0,25 0,50 0,75 1,00

relative Buntheit *c**

5 stufige Reihen für konstanten CIELAB Buntton 272/360 = 0.755 (rechts)